

УДК 552.43 : 550.42 : 550.93 (477)

**И.А. Самборская**

## **ПЕТРОГЕОХИМИЧЕСКАЯ ХАРАКТЕРИСТИКА ОСНОВНЫХ КРИСТАЛЛОСЛАНЦЕВ ЦЕНТРАЛЬНОПРИАЗОВСКОЙ СЕРИИ (ПРИАЗОВСКИЙ МЕГАБЛОК УЩ)**

Выполнены геохимические исследования основных кристаллосланцев центральноприазовской серии из стратотипических разрезов. Установлено, что по характеру распределения редкоземельных элементов и их суммарному содержанию они сопоставимы с кристаллосланцами верхнетокмакской толщи западноприазовской серии. По сравнению с метабазитами Косивцевской и Новогоровской зеленокаменных структур в основных кристаллосланцах центральноприазовской серии существенно выше содержание высокозарядных некогерентных элементов — Nb, Ta, Zr, Hf, а также Y, что свидетельствует, вероятно, об эволюционных изменениях состава мантии и условий магмообразования при формировании земной коры Приазовского мегаблока.

**Вступление.** К востоку от Орехово-Павлоградской структуры, в древнейшем метаморфическом комплексе Приазовского мегаблока, выделены две ассоциации пород — метабазиты и биотитовые гнейсы (более древняя ассоциация) и графитовые, силлиманитовые, ставролитовые, кордиеритовые, гранатовые гнейсы и сланцы, рудные и безрудные кварциты, кристаллические известняки. Нижняя толща выделена как западноприазовская, а верхняя — как центральноприазовская серия. Аналогами последней в различных структурно-фаунистических зонах служат волчанская и драгунская толщи. Все имеющиеся варианты стратиграфического расчленения метаморфических пород, объединенные в эти серии, до настоящего времени обоснованы недостаточно. Согласно новым геохронологическим данным, амфибол-биотитовые гнейсы кайнокулакской толщи западноприазовской серии имеют изотопный возраст 3,1—2,95 млрд лет [2]. Возраст останцов метабазитов верхнетокмакской и кайнокулакской толщ до сих пор неясен. Убедительные данные о возрасте пород центральноприазовской серии также отсутствуют. Одни авторы считают их архейскими [5, 8], а другие — палеопротерозойскими [4]. Поэтому интересным представляется

изучение химического состава основных кристаллосланцев этой серии с целью сравнения с кристаллосланцами западноприазовской серии и слабометаморфизованными базальтами Косивцевской и Новогоровской зеленокаменных структур (ЗС) Приазовского мегаблока, установление их возможного эволюционного тренда и геохимических критериев разделения метабазитов разного возраста.

Породы центральноприазовской серии распространены в пределах Центрального и Западного Приазовья, где слагают крупные структуры первого порядка — Мангушский и Корсакский синклиниории. Глубокометаморфизованные образования этой серии представлены биотитовыми, амфиболовыми, пироксеновыми, графитовыми, гранатовыми, силлиманит-кордиерит-корунд- и шпинельсодержащими, пироксен-гранатовыми и другими гнейсами и кристаллическими сланцами, полевошпатовыми, слюдистыми и магнетитовыми кварцитами, мраморами и кальцифарами. Эта серия разделена на две свиты — темрюкскую и сачкинскую. Стратотипический разрез темрюкской свиты — разрез по берегу р. Темрюк [6].

Породы западноприазовской серии разделены на две толщи — верхнетокмакскую (нижнюю) и кайнокулакскую (верхнюю) [2]. Верхнетокмакская толща обнажается в верховых

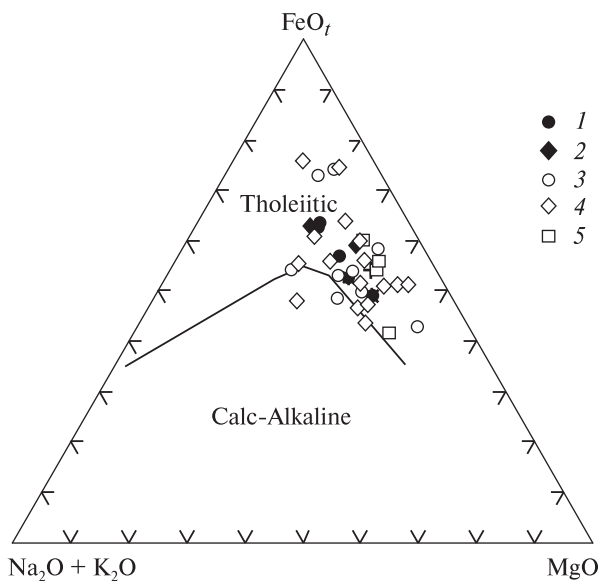


Рис. 1. Диаграмма AFM для кристаллосланцев Приазовского мегаблока УЩ. Серия: 1 — западноприазовская [1], 2 — центральноприазовская, 3 — западноприазовская [3, 7], 4 — центральноприазовская [7]; 5 — базальты зеленокаменных поясов Приазовского мегаблока [1]

Fig. 1. Diagram of AFM for basic crystalline shists of the Peri-Azovian megablock of USh. Series: 1 — West-Peri-Azovian [1], 2 — Central-Peri-Azovian, 3 — West-Peri-Azovian [3, 7], 4 — Central-Peri-Azovian [7]; 5 — basalts of greenstone structures of the Peri-Azovian megablock [1]

р. Молочная (Токмак) и в северо-восточной части Салтычанского блока, восточнее Семеновского разлома, ее мощность более 2,5 км. Толща сложена кристаллосланцами основного состава (двутироксен-амфибол-плагиоклазовыми, биотит-двутироксен-плагиоклазовыми и диопсид-амфибол-плагиоклазовыми), пироксеновыми, амфиболовыми и биотитовыми гнейсами и амфиболитами с прослоями гранатовых и пироксен-магнетитовых кварцитов. Кайнкулакская толща широко развита западнее Семеновского разлома (к западу от п.г.т Черниговка). Она представлена гнейсами, среди которых преобладают биотит-амфиболовые и пироксеновые разности, при подчиненном развитии гранат-биотитовых гнейсов, железистых кварцитов и пироксен содержащих кристаллосланцев.

**Объект исследования** — кристаллосланцы центральноприазовской серии драгунской толщи, отобранные из обнажений ж/д выемки у станции Верхний Токмак II (обр. 83/27, 83/28, 83/33) и кристаллосланцы центральноприазовской серии темрюкской свиты, отобранные на правом берегу р. Темрюк на участке

Старченково возле хут. Садовый (обр. 84-125). Состав редких и редкоземельных элементов в основных кристаллосланцах был определен с помощью метода масс-спектроскопии с индуктивно связанный плазмой (ICP-MS) на масс-спектрометре *Elan 6100* в ЦЛ ВСЕГЕИ.

Амфибол-плагиоклазовые кристаллосланцы (обр. 83/27, 83/28) имеют гранобластовую структуру. Состоят из зеленой роговой обманки (50 %), плагиоклаза (45 %), кварца (2—3 %), единичных зерен апатита и рудных минералов. Таблитчатые кристаллы плагиоклаза и зеленой роговой обманки часто содержат округлые включения кварца. Некоторые кристаллы плагиоклаза полисинтетически сдвойникованы. Биотита нет.

Таблица 1. Химический состав основных кристаллосланцев центральноприазовской серии

Table 1. Chemical composition of basic crystalline shists of the Central-Peri-Azovian series

Компонент, %	1	2	3	4
SiO <sub>2</sub>	48,89	48,96	51,09	48,04
TiO <sub>2</sub>	0,84	1,04	1,14	1,49
Al <sub>2</sub> O <sub>3</sub>	15,95	13,66	15,28	11,22
Fe <sub>2</sub> O <sub>3</sub>	5,47	2,26	9,44	6,87
FeO	8,13	12,47	1,94	7,18
MnO	0,22	0,22	0,26	0,18
MgO	5,73	8,14	8,01	8,25
CaO	10,26	9,49	10,26	12,02
Na <sub>2</sub> O	2,56	2,04	1,56	2,10
K <sub>2</sub> O	0,52	0,60	0,40	0,20
S <sub>общ.</sub>	0,34	Сл.	Сл.	Сл.
P <sub>2</sub> O <sub>5</sub>	0,15	0,12	0,12	0,36
CO <sub>2</sub>	0,10	0,25	0,10	Не опр.
H <sub>2</sub> O <sup>-</sup>	0,07	Сл.	0,13	0,69
П. п. п.	1,17	1,13	0,11	1,80
Сумма	100,40	100,38	99,84	100,39
K <sub>ф</sub> , %	70,36	64,41	58,69	63,00
al'	0,83	0,60	0,79	0,50
Na <sub>2</sub> O/K <sub>2</sub> O	4,92	3,40	3,90	10,50

П р и м е ч а н и е. Выемка возле ж/д на станции Верхний Токмак II: 1, 2 — амфибол-плагиоклазовый кристаллосланец (1 — обр. 83/27; 2 — обр. 83/28); 3 — двутироксен-плагиоклазовый кристаллосланец, обр. 83/33 правый берег р. Темрюк, в 100 м выше дамбы, ниже с. Старченково; 4 — пироксен-плагиоклазовый кристаллосланец, обр. 84-125. Анализы выполнены в лаборатории ИГМР им. Н.П. Семененко НАН Украины.

Двутироксен-плагиоклазовый кристаллосланец (обр. 83/33) имеет гранобластовую структуру. Состоит из амфиболизированного моноклинного и ромбического пироксенов (60 %), плагиоклаза (40 %) и апатита (1 %).

Кристаллосланцы принадлежат к нормальному петрохимическому ряду основных пород ( $\text{SiO}_2 = 48,89\text{--}51,09$ ;  $\text{Na}_2\text{O} + \text{K}_2\text{O} = 1,96\text{--}3,08 \%$ ) натриевой (обр. 83/27) и калиево-натриевой (обр. 83/28, 83/33) серий. Они имеют несколько повышенное содержание  $\text{TiO}_2$  (0,84–1,14 %) (табл. 1).

Коэффициент железистости пород ( $K_f$ ) варьирует от 58,7 до 70,4 %. Это низко- и умеренно-глиноземистые породы, значение отношения  $\text{Ti}/\text{Zr}$  в них составляет 121,5 (табл. 1, 2). На диаграммах, отражающих зависимости  $(\text{Na}_2\text{O} + \text{K}_2\text{O}) - \text{FeO}_t - \text{MgO}$  (AFM) (рис. 1) и  $\text{SiO}_2 - (\text{FeO}_t/\text{MgO})$  (рис. 2) фигурационные точки состава кристаллосланцев лежат в поле пород толеитовой серии.

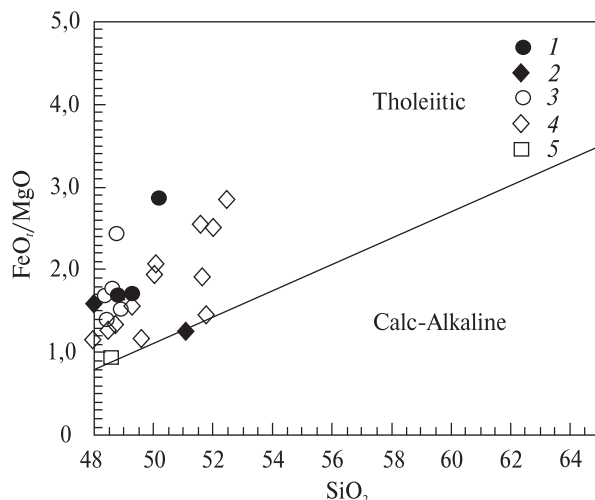


Рис. 2. Диаграмма  $\text{SiO}_2 - (\text{FeO}_t/\text{MgO})$  для основных кристаллосланцев и базальтов зеленокаменных поясов Приазовского мегаблока. Усл. обозначения см. на рис. 1

Fig. 2. Diagram of  $\text{SiO}_2 - (\text{FeO}_t/\text{MgO})$  for basic crystalline shists and basalts of greenstone structures of the Peri-Azovian megablock. See legend on Fig. 1

Таблица 2. Содержание редких элементов в кристаллосланцах центрально-приазовской серии

Table 2. Tables of contents of rare elements are in the basic crystalline shists of the Central-Peri-Azovian series

Компонент, ppm	Обр. 83/28	Обр. 84-125	Компонент, ppm	Обр. 83/28	Обр. 84-125
Be	0,93	<1,00	Gd	2,69	3,66
Rb	5,60	10,00	Tb	0,49	0,60
Sr	79,60	289,00	Dy	3,27	3,53
Ba	47,60	90,70	Ho	0,78	0,69
V	294,00	258,00	Er	2,31	1,87
Cr	128,00	438,00	Tm	0,34	0,26
Co	57,30	59,30	Yb	2,17	1,68
Ni	58,30	225,00	Lu	0,33	0,25
Cu	19,80	73,40	Ge	1,93	1,96
Zn	102,00	86,60	Mo	<1,00	<1,00
Ga	15,20	20,80	Sn	1,80	1,10
Y	20,60	17,10	Sb	0,33	<0,50
Nb	3,81	4,90	Cs	0,28	0,65
Ta	0,26	0,37	W	0,36	<0,50
Zr	51,30	51,70	Pb	6,42	1,77
Hf	1,46	1,79	$\Sigma \text{PZ}\mathcal{E}$	34,82	44,59
U	<1,00	1,84	$\text{Nb}/\text{Nb}^*$	1,08	0,99
Th	0,51	0,84	$(\text{La}/\text{Yb})_N$	1,12	2,05
La	3,40	4,81	$\text{Eu}/\text{Eu}^*$	0,97	1,06
Ce	8,87	12,40	$(\text{Nb}/\text{La})_N$	1,08	0,98
Pr	1,26	1,89	$\text{Ti}/\text{Zr}$	121,54	172,78
Nd	6,22	9,15	$(\text{La}/\text{Sm})_N$	1,11	1,13
Sm	1,96	2,71	$(\text{Yb}/\text{Gd})_N$	1,00	0,57
Eu	0,73	1,09			

Примечание. Привязки образцов пород даны в табл. 1. Нормирование на хондрит C1 [9]. Анализы выполнены в ЦЛ ВСЕГЕИ (г. Санкт-Петербург, Россия).

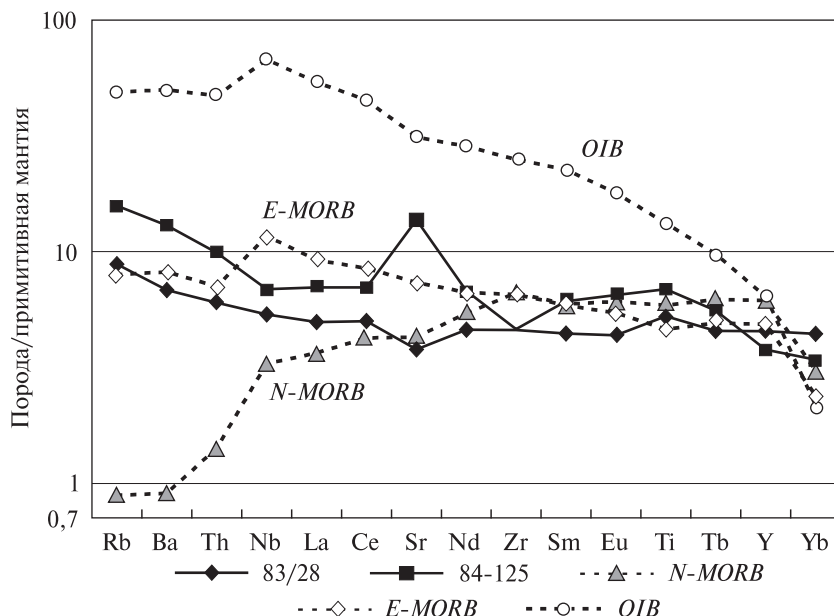


Рис. 3. Мультиэлементная диаграмма для основных кристаллосланцев центрально-приазовской серии (нормирование на примитивную мантию [9])

Fig. 3. Multielement diagram for basic crystalline shists of the Central-Peri-Azovian series (normalized for a primitive mantle [9])

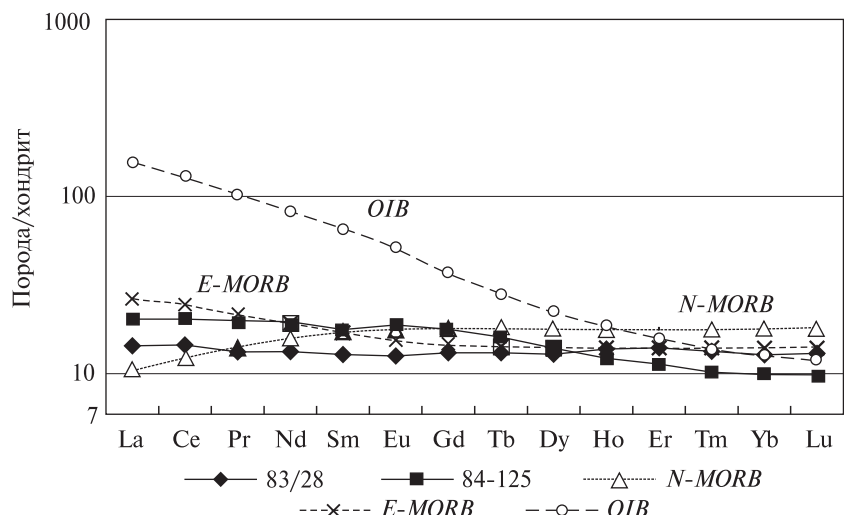


Рис. 4. Нормированное на хондрит C1 [9] распределение РЗЭ в основных кристаллосланцах центрально-приазовской серии

Fig. 4. Normalized for chondrite [9] REE distribution in basic crystalline shists of the Central-Peri-Azovian series

На мультиэлементной диаграмме выделяются положительная аномалия Ti и отрицательные Sr, Eu и Nb (рис. 3). Распределение РЗЭ не дифференцированное —  $(La/Yb)_N = 1,12$ ;  $(La/Sm)_N = 1,11$ ;  $(Yb/Gd)_N = 1$ . Суммарное содержание РЗЭ — 34,82 ppm. По содержанию РЗЭ и характеру их распределения кристаллосланцы драгунской толщи подобны к срединноокеаническим базальтам (*E-MORB*) (рис. 3, 4).

*Двупироксен-плагиоклазовый кристаллосланец* (обр. 84-125) имеет слабо выраженную сланцеватость, структура породы гранобластовая. Состоит из моноклинного и ромбического пироксенов (65 %), плагиоклаза (30 %), кварца (5 %). Кристаллы пироксенов

содержат пойкилитовые включения кварца. Кристаллы плагиоклаза полисинтетически сдвойникованы.

Порода относится к нормальному петрохимическому ряду основных пород натриевой серии ( $SiO_2 = 48,04$ ;  $Na_2O + K_2O = 2,30\%$ ), имеет несколько повышенное содержание  $TiO_2$  (1,49 %) (табл. 1), низкоглиноземистая,  $K_{\phi} = 63\%$ . Высокое значение отношения  $Ti/Zr$  (172,8), положительная аномалия европия ( $Eu/Eu^* = 1,06$ ), повышенное содержание Sr (289 ppm), Cr (438 ppm), Ni (225 ppm) (табл. 2) указывают на процесс дифференциации исходной магмы и накопления рудного компонента. На диаграммах *AFM* (рис. 1) и  $SiO_2 - (FeO_t/MgO)$  (рис. 2) фигуративная

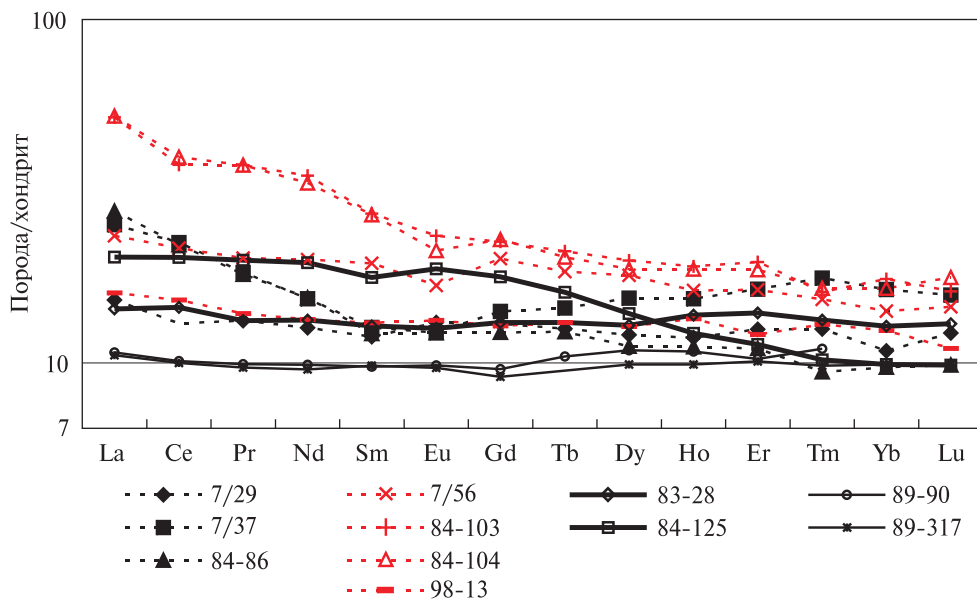


Рис. 5. Нормированное на хондрит C1 [9] распределение РЗЭ в основных кристаллосланцах центрально-приазовской (обр. 83/28, 84-125), западноприазовской серии верхнетокмакской (обр. 7/29, 7/37, 84-86) и кайнкулакской толщ (обр. 7/56, 84-103, 84-104, 98-13) и базальтов зеленокаменных поясов Приазовского мегаблока (обр. 89-90, 89-317)

Fig. 5. Normalized for chondrite [9] REE distribution in basic crystalline shists of the Central-Peri-Azovian series (sample 83/28, 84-125), Verkhniy Tokmak thickness of the West-Peri-Azovian series (sample 7/29, 7/37, 84-86) and Kayinkulak thickness (sample 7/56, 84-103, 84-104, 98-13) and basalts of greenstone structures of the Peri-Azovian megablock (sample 89-90, 89-317)

точка состава этого кристаллосланца лежит в поле пород толеитовой серии.

На мультиэлементной диаграмме наблюдаются положительные аномалии Sr, Eu, Ti и отрицательная Nb (рис. 3). Распределение РЗЭ слабо дифференцированное —  $(La/Yb)_N = 2,05$ ;  $(La/Sm)_N = 1,13$ ;  $(Yb/Gd)_N = 0,57$ . Суммарное содержание РЗЭ — 44,59 ppm. По содержанию и характеру распределения РЗЭ кристаллосланцы темрюкской свиты подобны E-MOPB (рис. 3, 4).

В результате геохимического сопоставления кристаллосланцев центрально-приазовской серии с кристаллосланцами верхнетокмакской и кайнкулакской толщ западноприазовской серии и метабазитами зеленокаменных поясов Приазовского мегаблока [1] установлено, что изученные кристаллосланцы относятся к нормальному петрохимическому ряду основных пород натриевой и калиево-натриевой серии. Это низко- и умеренно-глиноземистые породы. На диаграммах AFM (рис. 1) и  $SiO_2 - (FeO_t/MgO)$  (рис. 2) большинство фигуративных точек их состава лежат в поле пород толеитовой серии. По характеру распределения РЗЭ и их суммарному содержанию (34,8–44,6 ppm) кристаллосланцы центрально-приазовской серии сопоставимы с кристаллослан-

цами верхнетокмакской толщи западноприазовской серии ( $\Sigma$ РЗЭ 32,7–49,9 ppm) (рис. 5).

**Выводы.** Приведенные результаты свидетельствуют, что основные кристаллосланцы центрально-приазовской серии относятся к нормальному петрохимическому ряду основных пород натриевой и калиево-натриевой серий и характеризуются несколько повышенным содержанием  $TiO_2$ . Это низко- и умеренно-глиноземистые породы толеитовой серии. По характеру распределения РЗЭ и их суммарному содержанию они сопоставимы с кристаллосланцами верхнетокмакской толщи западноприазовской серии.

По сравнению с метабазитами Косицевской и Новогоровской зеленокаменных структур, основные кристаллосланцы центрально-приазовской серии несколько обогащены легкими РЗЭ, характеризуются более высоким содержанием Cr, Ni, Co, существенно большим содержанием высокозарядных некогерентных элементов — Nb, Ta, Zr, Hf, а также Y. Значения отношений элементов  $Nb/Nb^* = 1,08$  и  $(La/Nb)_N = 0,91$  указывают на отсутствие коровой контаминации исследованных пород и свидетельствуют о том, что исходные породы для них выплавлялись из мантийного субстрата.

1. Артеменко Г.В., Швайка И.А., Демедюк В.В. и др. Геохимия основных кристаллосланцев западноприазовской серии (Приазовский мегаблок УЩ) // Мінерал. журн. — 2009. — 31, № 1. — С. 50—57.
2. Бибикова Е.В., Лобач-Жученко С.Б., Артеменко Г.В. и др. Позднеархейские магматические комплексы Приазовского террейна Украинского щита : геологическое положение, изотопный возраст, источники вещества // Петрология. — 2008. — 16, № 3. — С. 227—247.
3. Зарицкий А.И., Каныгин Л.И., Кириклица С.И. и др. Железисто-кремнистая формация докембрия Мариупольского рудного поля. — М. : Недра, 1974. — 152 с.
4. Каляев Г.И. Тектоника докембрия Украинской железорудной провинции. — Киев : Наук. думка, 1965. — 188 с.
5. Кравченко Г.Л. Новые данные о составе и возрасте железисто-известково-силикатных сланцев Приазовья // Геол. журн. — 1970. — 30, № 6. — С. 53—60.
6. Полуновский Р.М. Характеристика разреза гнейсовой серии Центрального Приазовья и вопросы ее стратиграфии // Докт. АН СССР. — 1969. — 187, № 6. — С. 1360—1364.
7. Раздорожный В.Ф., Бородыня Б.В., Князькова И.Л. Отчет о геологическом доизучении площади масштаба 1 : 200 000 территории листа L-37-VII (Бердянск) в 1991—2000 гг. Бердянским ГСО // Кн. 1—11. Текст, текстовые и графические приложения. Приазовская КГП. Волноваха Донецкой обл., 2000.
8. Щербак Н.П., Артеменко Г.В., Лесная И.М., Пономаренко А.Н. Геохронология раннего докембрия Украинского щита. Архей. — Киев : Наук. думка, 2005. — 243 с.
9. Sun S.S., McDonough W.F. Chemical and isotopic systematics of oceanic basalts : implications for mantle composition and processes // Magmatism in the Ocean Basins / Eds. A.D. Saunders, M.J. Norry. — 1989. — P. 313—345. — (Geol. Soc. Spec. Publ.; No 42).

Ин-т геохимии, минералогии и рудообразования  
им. Н.П. Семененко НАН Украины, Киев

Поступила 15.02.2010

**РЕЗЮМЕ.** Виконано геохімічні дослідження основних кристалосланців центрально-приазовської серії зі стратотипових розрізів. За характером розподілу рідкісновугільних елементів та їх сумарним вмістом вони подібні до кристалосланців верхньотокмакської товщі західноприазовської серії. На відміну від метабазитів Косивцевської та Новогорівської зеленокам'яних структур, в основних кристалосланцях центрально-приазовської серії істотно вищий вміст високозарядних некогерентних елементів — Nb, Ta, Zr, Hf, а також Y, що свідчить, ймовірно, про еволюційні зміни складу мантії та умов магмоутворення у процесі формування земної кори Приазовського мегаблоку.

**SUMMARY.** Geochemical studies of basic shists of the Central-Peri-Azovian series from stratotypical section were carried out. They are similar to the normal petrochemical row of basic rocks of sodium and potassium-sodium series, have something increased contents of  $TiO_2$ . These are low- and moderately aluminous rocks of tholeiitic series. The quantity of values of elements  $Nb/Nb^* = 1.08$  and  $(La/Nb)_N = 0.91$  testify that source rocks was melted from mantle substrate and specify the absence of contaminated crystal material. By the nature of the distribution of REE and their total content, they are comparable with basic shists of Verchniy Tokmak thickness of the West-Peri-Azovian series. In relation to the metabasites of the Kosivtsevo and Novogorovka GS, in the basic shists of Central-Peri-Azovian series there are much higher contents of highly incoherent elements — Nb, Ta, Zr, Hf and Y, which indicates, perhaps, the evolutionary changes in the mantle composition and magma formation conditions in the formation of the Earth's crust of the Peri-Azovian megablock.